# (19) **日本国特許庁(JP)**

# (12) 公 開 特 許 公 報(A)

(11)特許出願公開番号

特開2006-350369 (P2006-350369A)

(43) 公開日 平成18年12月28日 (2006.12.28)

(51) Int.C1.	F 1		テーマコード (参考)
GO9G 3/36	<b>(2006.01)</b> GO9G	3/36	2H092
GO9G 3/20	<b>(2006.01)</b> GO9G	3/20 6 2 2 G	2H093
GO2F 1/136	<b>8 (2006.01)</b> G09G	3/20 6 2 3 R	5COO6
GO2F 1/133	<b>(2006.01)</b> G09G	3/20 6 2 4 B	50080
HO1L 29/786	<b>(2006.01)</b> GO2F	1/1368	5 F 1 1 O
	審査請求	さ 有 講求項の数 24 O L	(全 20 頁) 最終頁に続く
(21) 出願番号	特願2006-194994 (P2006-194994)	(71) 出願人 000153878	
(22) 出願日	平成18年7月17日 (2006.7.17)	株式会社半導作	本エネルギー研究所
(62) 分割の表示	特願2006-2248 (P2006-2248)	神奈川県厚木市	市長谷398番地
	の分割	(72) 発明者 山崎 舜平	
原出願日	平成3年6月7日 (1991.6.7)	神奈川県厚木	市長谷398番地 株式会社
		半導体エネル・	ギー研究所内
		(72) 発明者 間瀬 晃	
			市長谷398番地 株式会社
		半導体エネル・	
		[(72) 発明者 ▲ひろ▼木 ]	_ /·
			市長谷398番地 株式会社
		半導体エネル・	ギー研究所内
		(72)発明者   竹村   保彦	+ E & O O O 프트 - # - ^ 시 1
			市長谷398番地 株式会社
		半導体エネル・	
-			最終頁に続く

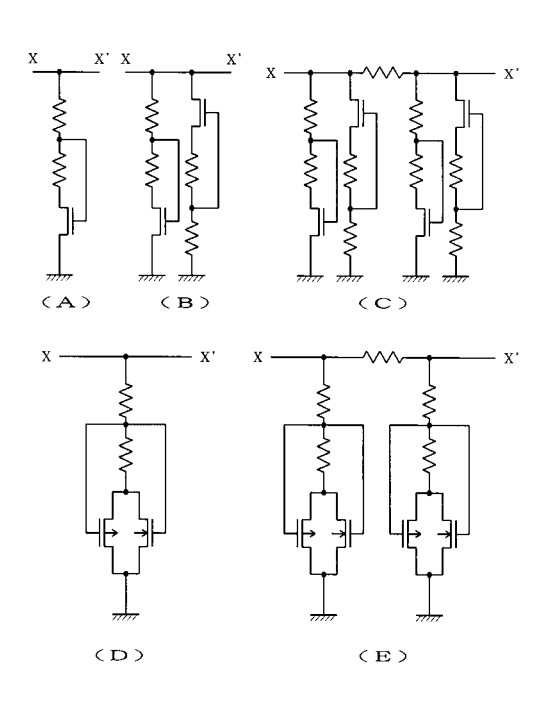
(54) 【発明の名称】電気光学装置、液晶表示装置及びテレビ

# (57)【要約】

【課題】画素の配線に過大な電圧がかかるとON状態となり、電圧を取り去る作用を有する保護回路を備えた電気光学装置を提案することを目的とする。

【解決手段】第2乃至第5の薄膜トランジスタを有する保護回路を有し、第2の薄膜トランジスタのソース及びドレインの一方は、該薄膜トランジスタのゲート及び信号線に電気的に接続され、第3の薄膜トランジスタのソース及びドレインの一方は、信号線に電気的に接続され、ソース及びドレインの他方は、該薄膜トランジスタのゲートに電気的に接続され、第4の薄膜トランジスタのソース及びドレインの一方は、該薄膜トランジスタのゲート及び信号線に電気的に接続され、第5の薄膜トランジスタのソース及びドレインの一方は、信号線に電気的に接続され、ソース及びドレインの他方は、該薄膜トランジスタのゲートに電気的に接続される。

【選択図】図11



#### 【特許請求の範囲】

# 【請求項1】

第1の薄膜トランジスタを有する画素と、

前記第1の薄膜トランジスタのゲートに電気的に接続された信号線と、

第2乃至第5の薄膜トランジスタを有する保護回路と、を有し、

前記第2の薄膜トランジスタのソース及びドレインの一方は、該薄膜トランジスタのゲート及び前記信号線に電気的に接続され、

前記第3の薄膜トランジスタのソース及びドレインの一方は、前記信号線に電気的に接続され、ソース及びドレインの他方は、該薄膜トランジスタのゲートに電気的に接続され

前記第4の薄膜トランジスタのソース及びドレインの一方は、該薄膜トランジスタのゲート及び前記信号線に電気的に接続され、

前記第5の薄膜トランジスタのソース及びドレインの一方は、前記信号線に電気的に接続され、ソース及びドレインの他方は、該薄膜トランジスタのゲートに電気的に接続されることを特徴とする電気光学装置。

#### 【請求項2】

第1の薄膜トランジスタを有する画素と、

前記第1の薄膜トランジスタのソースまたはドレインに電気的に接続された信号線と、 第2乃至第5の薄膜トランジスタを有する保護回路と、を有し、

前記第2の薄膜トランジスタのソース及びドレインの一方は、該薄膜トランジスタのゲート及び前記信号線に電気的に接続され、

前記第3の薄膜トランジスタのソース及びドレインの一方は、前記信号線に電気的に接続され、ソース及びドレインの他方は、該薄膜トランジスタのゲートに電気的に接続され

前記第4の薄膜トランジスタのソース及びドレインの一方は、該薄膜トランジスタのゲート及び前記信号線に電気的に接続され、

前記第5の薄膜トランジスタのソース及びドレインの一方は、前記信号線に電気的に接続され、ソース及びドレインの他方は、該薄膜トランジスタのゲートに電気的に接続されることを特徴とする電気光学装置。

### 【請求項3】

請求項1または2において、

前記第1の薄膜トランジスタのゲート電極は、モリブデン、タングステン、シリコンまたはアルミニウムから選ばれた少なくともひとつの材料を含むことを特徴とする電気光学装置。

# 【請求項4】

請求項1乃至3のいずれか一項において、

前記第1の薄膜トランジスタのゲート絶縁膜には弗素が含まれることを特徴とする電気光学装置。

### 【請求項5】

請求項1乃至4のいずれか一項において、

前記第1の薄膜トランジスタ上には平坦化用有機樹脂膜が設けられていることを特徴とする電気光学装置。

### 【請求項6】

請求項1乃至5のいずれか一項において、

前記保護回路は、前記画素の周辺に設けられていることを特徴とする電気光学装置。

# 【請求項7】

請求項1乃至6のいずれか一項において、

前記保護回路は、透明導電材料を含むことを特徴とする電気光学装置。

#### 【請求項8】

請求項7において、

10

20

30

40

前記透明導電材料は、ITOであることを特徴とする電気光学装置。

#### 【請求項9】

第1の薄膜トランジスタを有する画素と、

前記第1の薄膜トランジスタのゲートに電気的に接続された信号線と、

第2乃至第5の薄膜トランジスタを有する保護回路と、を有し、

前記第2の薄膜トランジスタのソース及びドレインの一方は、該薄膜トランジスタのゲート及び前記信号線に電気的に接続され、

前記第3の薄膜トランジスタのソース及びドレインの一方は、前記信号線に電気的に接続され、ソース及びドレインの他方は、該薄膜トランジスタのゲートに電気的に接続され

前記第4の薄膜トランジスタのソース及びドレインの一方は、該薄膜トランジスタのゲート及び前記信号線に電気的に接続され、

前記第5の薄膜トランジスタのソース及びドレインの一方は、前記信号線に電気的に接続され、ソース及びドレインの他方は、該薄膜トランジスタのゲートに電気的に接続されることを特徴とする液晶表示装置。

#### 【請求項10】

第1の薄膜トランジスタを有する画素と、

前記第1の薄膜トランジスタのソースまたはドレインに電気的に接続された信号線と、 第2乃至第5の薄膜トランジスタを有する保護回路と、を有し、

前記第2の薄膜トランジスタのソース及びドレインの一方は、該薄膜トランジスタのゲート及び前記信号線に電気的に接続され、

前記第3の薄膜トランジスタのソース及びドレインの一方は、前記信号線に電気的に接続され、ソース及びドレインの他方は、該薄膜トランジスタのゲートに電気的に接続され

前記第4の薄膜トランジスタのソース及びドレインの一方は、該薄膜トランジスタのゲート及び前記信号線に電気的に接続され、

前記第5の薄膜トランジスタのソース及びドレインの一方は、前記信号線に電気的に接続され、ソース及びドレインの他方は、該薄膜トランジスタのゲートに電気的に接続されることを特徴とする液晶表示装置。

### 【請求項11】

請求項9または10において、

前記第1の薄膜トランジスタのゲート電極は、モリブデン、タングステン、シリコンまたはアルミニウムから選ばれた少なくともひとつの材料を含むことを特徴とする液晶表示装置。

# 【請求項12】

請求項9乃至11のいずれか一項において、

前 記 第 1 の 薄 膜 ト ラ ン ジ ス タ の ゲ ー ト 絶 縁 膜 に は 弗 素 が 含 ま れ る こ と を 特 徴 と す る 液 晶 表 示 装 置 。

# 【請求項13】

請求項9乃至12のいずれか一項において、

前記第1の薄膜トランジスタ上には平坦化用有機樹脂膜が設けられていることを特徴とする液晶表示装置。

### 【請求項14】

請求項9乃至13のいずれか一項において、

前記保護回路は、前記画素の周辺に設けられていることを特徴とする液晶表示装置。

# 【請求項15】

請求項9乃至14のいずれか一項において、

前記保護回路は、透明導電材料を含むことを特徴とする液晶表示装置。

#### 【請求項16】

請求項15において、

10

20

30

前記透明導電材料は、ITOであることを特徴とする液晶表示装置。

# 【請求項17】

第1の薄膜トランジスタを有する画素と、

前記第1の薄膜トランジスタのゲートに電気的に接続された信号線と、

第2乃至第5の薄膜トランジスタを有する保護回路と、を有し、

前記第2の薄膜トランジスタのソース及びドレインの一方は、該薄膜トランジスタのゲート及び前記信号線に電気的に接続され、

前記第3の薄膜トランジスタのソース及びドレインの一方は、前記信号線に電気的に接続され、ソース及びドレインの他方は、該薄膜トランジスタのゲートに電気的に接続され

前記第4の薄膜トランジスタのソース及びドレインの一方は、該薄膜トランジスタのゲート及び前記信号線に電気的に接続され、

前記第5の薄膜トランジスタのソース及びドレインの一方は、前記信号線に電気的に接続され、ソース及びドレインの他方は、該薄膜トランジスタのゲートに電気的に接続される電気光学装置を用いたことを特徴とするテレビ。

#### 【請求項18】

第1の薄膜トランジスタを有する画素と、

前記第1の薄膜トランジスタのソースまたはドレインに電気的に接続された信号線と、 第2乃至第5の薄膜トランジスタを有する保護回路と、を有し、

前記第2の薄膜トランジスタのソース及びドレインの一方は、該薄膜トランジスタのゲート及び前記信号線に電気的に接続され、

前記第3の薄膜トランジスタのソース及びドレインの一方は、前記信号線に電気的に接続され、ソース及びドレインの他方は、該薄膜トランジスタのゲートに電気的に接続され

前記第4の薄膜トランジスタのソース及びドレインの一方は、該薄膜トランジスタのゲート及び前記信号線に電気的に接続され、

前記第5の薄膜トランジスタのソース及びドレインの一方は、前記信号線に電気的に接続され、ソース及びドレインの他方は、該薄膜トランジスタのゲートに電気的に接続される電気光学装置を用いたことを特徴とするテレビ。

### 【請求項19】

請求項17または18において、

前記第1の薄膜トランジスタのゲート電極は、モリブデン、タングステン、シリコンまたはアルミニウムから選ばれた少なくともひとつの材料を含むことを特徴とするテレビ。

# 【請求項20】

請求項17乃至19のいずれか一項において、

前記第1の薄膜トランジスタのゲート絶縁膜には弗素が含まれることを特徴とするテレビ。

### 【請求項21】

請求項17乃至20のいずれか一項において、

前記第1の薄膜トランジスタ上には平坦化用有機樹脂膜が設けられていることを特徴とするテレビ。

#### 【請求項22】

請求項17乃至21のいずれか一項において、

前記保護回路は、前記画素の周辺に設けられていることを特徴とするテレビ。

#### 【請求項23】

請求項17乃至22のいずれか一項において、

前記保護回路は、透明導電材料を含むことを特徴とするテレビ。

## 【請求項24】

請求項23において、

前記透明導電材料は、ITOであることを特徴とするテレビ。

10

30

20

40

#### 【発明の詳細な説明】

### 【技術分野】

### [0001]

本発明は、駆動用スイッチング素子として薄膜トランジスタ(以下TFTという)を使用した液晶電気光学装置における画像表示方法において、特に中間的な色調や濃淡の表現を得るための階調表示方法に関するものである。本発明は、特に、外部からいかなるアナログ信号をもアクティブ素子に印加することなく、階調表示をおこなう、いわゆる完全デジタル階調表示に関するものである。

### 【背景技術】

### [0002]

液晶組成物はその物質特性から、分子軸に対して水平方向と垂直方向に誘電率が異なるため、外部の電解に対して水平方向に配列したり、垂直方向に配列したりさせることが容易にできる。液晶電気光学装置は、この誘電率の異方性を利用して、光の透過光量または散乱量を制御することでΟΝ/ΟΓΓΚ、すなわち明暗の表示をおこなっている。液晶材料としては、ΤΝ(ツイステッド・ネマティック)液晶、STN(スーパー・ツイステッド・ネマティック)液晶、STN(スーパー・ツイステッド・ネマティック)液晶、強誘電性液晶、ポリマー液晶あるいは分散型液晶とよばれる材料が知られている。液晶は外部電圧に対して、無限に短い時間に反応するのではなく、応答するまでにある一定の時間がかかることが知られている。その値はそれぞれの液晶材料に固有で、TN液晶の場合には、数10msec、STN液晶の場合には数100msec、分散型あるいはポリマー液晶の場合には数10msec

#### [0003]

液晶を利用した電気光学装置のうちでもっとも優れた画質が得られるものは、アクティブマトリクス方式を用いたものであった。従来のアクティブマトリクス型の液晶電気光学装置では、アクティブ素子として薄膜トランジスタ(TFT)を用い、TFTにはアモルファスまたは多結晶型の半導体を用い、1つの画素にP型またはN型のいずれか一方のみのタイプのTFTを用いたものであった。即ち、一般にはNチャネル型TFT(NTFTという)を画素に直列に連結している。そして、マトリクスの信号線に信号電圧を流し、それぞれの信号線の直交する箇所に設けられたTFTに双方から信号が印加されるとTFTがON状態となることを利用して液晶画素のON/OFFを個別に制御するものであった。このような方法によって画素の制御をおこなうことによって、コントラストの大きい液晶電気光学装置を実現することができる。

### 【発明の開示】

【発明が解決しようとする課題】

### [0004]

しかしながら、このようなアクティブマトリクス方式では、明暗や色調といった、階調表示をおこなうことは極めて難しかった。従来、階調表示は液晶の光透過性が、印加される電圧の大きさによって変わることを利用する方式が検討されていた。これは、例えば、マトリクス中のTFTのソース・ドレイン間に、適切な電圧を周辺回路から供給し、その状態でゲイト電極に信号電圧を印加することによって、液晶画素にその大きさの電圧をかけようとするものであった。

# [0005]

しかしながら、このような方法では、例えば、TFTの不均質性やマトリクス配線の不均質性のために、実際には液晶画素にかかる電圧は、各画素によって、最低でも数%も異なってしまった。これに対し、例えば、液晶の光透過度の電圧依存性は、極めて非線型性が強く、ある特定の電圧で急激に光透過性が変化するため、たとえ数%の違いでも、光透過性が著しく異なってしまうことがあった。例えば、TN液晶ではON/OFF状態の中間状態の電位差は約1.2Vであり、16階調を達成せんとする場合には、75mVの精

10

20

30

40

20

30

40

50

度で、電位差を制御する必要があった。そのため、実際には16階調を達成することが限 界であった。

### [0006]

このように階調表示が困難であるということは、液晶ディスプレー装置が従来の一般的な表示装置であるCRT(陰極線管)と競争してゆく上で極めて不利であった。

#### [0007]

本発明は従来、困難であった階調表示を実現させるための全く新しい方法を提案することを目的とするものである。

また、本発明は、画素の配線に過大な電圧がかかるとON状態となり、電圧を取り去る作用を有する保護回路を備えた電気光学装置を提案することを目的とするものである。 【課題を解決するための手段】

### [ 0 0 0 8 ]

保護回路は、図10に示されるように、周辺の駆動回路と画素のあいだに設けられ、図11と図12で示されるような回路をいう。いずれも画素の配線に過大な電圧がかかるとON状態となり、電圧を取り去る作用を有する。これらの保護回路は、シリコンのようなドーピングされた、あるいはドーピングされていない半導体材料や、ITOのような透明導電材料、あるいは通常の配線材料を用いて構成される。したがって、画素の回路を形成するときに同時に形成することが可能である。

さて、液晶にかける電圧をアナログ的に制御することによって、その光透過性を制御することが可能であることを先に述べたが、本発明人らは、液晶に電圧のかかっている時間を制御することによって、視覚的に階調を得ることができることを見出した。

### [0009]

例えば、代表的な液晶材料であるTN(ツイステッド・ネマチック)液晶を用いた場合において、例えば、図1(a)において、Aで示されるような矩形パルスを印加する場合を比べて見ると、Aの方が明るいことを見出した。ここで、パルスの周期は1msecとした。結果的には、Aが最も明るく、以下、B、C、Dの順であった。このことは全く予想外のことである。なぜならば、通常の上記のTN液晶材料においては、1msecという時間はあまりにも短く、そのような短時間にはTN液晶は反応しないのである。したがって、いずれの場合にも液晶はON状態を実現することは不可能なはずである。しかしながら、実際には液晶は中間的な濃さを実現できた。

# [0010]

その具体的な原理についてはまだ詳細にわかっていない。しかしながら、本発明人らは、この現象を利用して階調表現が可能であることを見いだしたのである。すなわち、液晶材料が反応しないような周期で液晶材料にパルスを印加するときにパルスの幅を制御することによって、中間的な明るさをデジタル制御で実現することが、まさに本発明の特徴とするものである。本発明人らの研究の結果、このような中間的な濃度を得るためのパルスの周期はTN液晶の場合には10msec以下が必要であることがわかった。

# [0011]

ここで、パルスの周期という語句について、その意味を明確にする。すなわち、この場合には、複数のパルスを連続的に液晶に印加するのであるが、この場合のパルスの周期とは、1つのパルスが始まってから、次のパルスが始まるまでの間の時間のことをいう。したがって、パルスの繰り返し周波数の逆数となる。

また、パルス幅とは、パルスが電圧状態にある時間のことをいう。したがって、図1において、例えばCのパルス列の場合には、Tがパルスの周期であり、 がパルス幅である

### [0012]

同様な効果は、STN液晶においても、強誘電性液晶においても、また、ポリマー液晶あるいは分散型液晶においても見られた。いずれも、その応答時間よりも短い周期のパルスを加えることによって、中間的な色調が得られることが明らかになった。すなわち、S

TN液晶においては、100msec以下、のぞましくは10msec以下、強誘電性液晶においては10 $\mu$ sec以下、のぞましくは1 $\mu$ sec以下、ポリマー液晶あるいは分散型液晶においては10msec以下、のぞましくは1msec以下の周期のパルスを加えることによって、階調表示が得られた。

#### [0013]

通常は、テレビ等の画像では 1 秒間に 3 0 枚の静止画が次々に繰り出されて動画を形成する。したがって、 1 枚の静止画が継続する時間は約 3 0 m s e c である。この時間は人間の目にはあまりにも早すぎて、文字通り『目にも止まらない』時間であり、結果として、視覚的には静止画を 1 枚 1 枚識別することはできない。ともかく、通常の動画を得るには、 1 枚の静止画は長くても 1 0 0 m s e c 以上継続することはできない。

### [0014]

本発明を利用して256階調の階調表示をおこなうとすれば、例えば、T=3msecとすれば、この3msecの時間を、少なくとも256分割しうるパルス電圧印加方法を、画素に電圧を印加する方法として採用する必要がある。すなわち、最短で3msec/256=11.7μsecのパルス状の電圧が画素にかかるような回路を組む必要がある。実際には、図3に示すように、パルスのデューティー比 /Tと液晶画素の光透過性は非線型的な関係であり、256階調を得るためには、さらに、パルスのデューティー比を細かく制御することが必要である。

### [0015]

しかも、実際の画像表示をおこなう場合には、他の画素も考慮しなければならない。実際の画像表示装置では、例えば400行もの行がある。すなわち、後に述べるように、マトリクスのアクティブ素子は100nsecという極短応答性が求められる。そこで、そのような短時間応答性を有する回路の例を図4に示し、以下、その説明をする。

### [0016]

図4は本発明を実施するために必要な液晶表示装置のアクティブマトリクスの回路の例を示す。本発明では、アクティブ素子は100nsec以下の短時間で応答することが要求されるので高速動作する回路を組む必要がある。そのためには従来のようにNTFTあるいはPTFTだけでスイッチングをおこなうのではなく、図4に示されるようにNTFTとPTFTとが相補的に動作するように構成された、インバータ型の回路を用いることが必要である。

### [0017]

この例ではN×Mのマトリクスの例を示したものであるが、煩雑さをさけるために、そのうちのn行m列近傍のみを示した。これと同じものを上下左右に展開すれば完全なものが得られる。

# [0018]

10

20

30

20

30

40

50

### [0019]

次に、このような回路を用いた場合の回路の動作例を図1(b)および図2を用いて説明する。このマトリクス回路は図1(a)に示されるようなパルス状の電圧を液晶セルに印加するように動作する必要がある。そこで、このようなパルスを発生するために X 線および Y 線に印加される信号電圧の概要を図1(b)に示す。例として、400×640のマトリクスを考える。

#### [0020]

### [0021]

一方、 Y線には、時間 T / 2 5 6 の間に、図の V (  $Y_1$  )、 V (  $Y_m$  )、 V (  $Y_{m+1}$  ) 、 V (  $Y_{400}$  ) で示されるようなパルスが、それぞれのタイミングをずらして印加される。このパルスは、上記 X 線に印加されるパルスの最小単位パルスよりもさらに短い必要がある。結局、時間 T の間には、各 Y 線には、 2 5 6 回パルスが印加される。さらに、信号線  $Y_m$  と対に設けられた信号線  $Y_m$  には、図 1 ( C ) に示されるように、信号線  $Y_m$  に印加される信号を補完するような信号が印加される。以下の説明では、いちいち、  $Y_m$  の信号については説明しなくとも、  $Y_m$  の信号を補完するような(逆相の)信号が加えられるものとする。

# [0022]

次に、実際の回路の動作を図2に基づいて説明する。まず、第1のサブパルスがそれぞ れのX線に印加される。当然のことながら、これらのサブパルスはX線ごとに異なる。一 方、 Y 線には、先に述べたように、パルスが最初に Y 1 、次に Y 2 というように順々に印 加されてゆく。まず、パルスが Y 1 に印加されたときを考える。このとき、画素 Z 1 1 に 接続されている、アクティブ素子はOFF状態となる。すなわち、Y╴は電圧状態(V# )であり、かつY は電圧状態でない(V )ので、P T F T E N T F T はインバータと して動作する状態になる。さらにインバータの入力 X 』は V 』であるから、出力は反転し て  $V_{\perp}$  となる。次 N で、  $Y_{2}$  に電圧が加わるのであるが、このとき、 画素  $Z_{1,2}$  には電圧 のかかった状態となる。すなわち、インバータの入力X╴はV」であるからである。そし て、その後、 $X_1$  は $V_L$  を保ったまま、 $Y_2$  は $V_L$  に $\underline{Y}_2$  は $V_H$  に信号が反転する。する と、PTFTとNTFTはインバータではなく、バッファーとして機能する。そして、こ のとき、X╴はV」であるので、この回路は動作せず、したがって、液晶セルに蓄えられ た電荷は保持される。その後、Xıには、V」あるいはV』の信号が加えられるが、どち らの信号が加えられた場合であっても、この回路は動作しない。したがって、液晶セルに 蓄えられた電荷は保持され続ける。この状態は、少なくとも、次にY╴がV,に、<u>Y</u>╷が  $V_{\perp}$  になるまで持続する。同様に、 $Z_{1,m}$  も $Z_{1,m+1}$  も $Z_{1,400}$  も、電圧状態となる、そ の状態を持続することとなる。

# [0023]

このようにして、パルスが順々に印加されてゆき、 $Y_m$  に印加された場合を考える。今、4つの画素  $Z_{n,m}$  、 $Z_{n,m+1}$  、 $Z_{n+1,m}$  、 $Z_{n+1,m+1}$  に注目しているとすれば、 $X_n$  および  $X_{n+1}$  の第 1 のサブパルスのm番目および ( m+1 ) 番目に注目すればよい。 $X_n$  も  $X_{n+1}$  もm番目は  $V_L$  なので、画素  $Z_{n,m}$  、 $Z_{n+1,m}$  は電圧(充電)状態になる。ついで、 $Y_{m+1}$  にパルスが印加される。 $X_n$  も $X_{n+1}$  も ( m+1 ) 番目は  $V_L$  なので、この場合も画素  $Z_{n,m+1}$  、 $Z_{n+1,m+1}$  は充電状態となる。

## [0024]

次に、図では省略されているが、第 2 のサブパルスが来たものとする。このとき、  $X_n$  も  $X_{n+1}$  も m 番目および( m+1 )番目が  $V_{\perp}$  ならば、充電状態がなくならず、以上 4 つ

の画素は引き続き電圧状態を継続する。その後、第(h-1)のサブパルスまでは、4つの画素とも電圧状態が継続したものとする。

### [0025]

次に、サブパルスが進んで、第hのサブパルスが来たものとする。図では煩雑さを避けるためにm番目および(m + 1)番目以外は省略した。このとき、 $X_n$  も $X_{n+1}$  もm番目は $V_L$  なので、画素  $Z_{n+1,m}$  は電圧状態を継続する。しかし、 $X_{n+1}$  には(m + 1)番目が $V_H$  であるので、画素  $Z_{n+1,m}$  は電圧状態が継続するものの、画素  $Z_{n+1,m+1}$  は、アクティブ素子の出力が電圧状態でなくなり、蓄えられていた電荷が放出され、電圧状態は中断される。

#### [0026]

さらに、第iのサブパルスが来たときには、 $X_n$ の(m+1)番目は $V_H$ となったので、 $Z_{n,m+1}$ の充電状態は解除される。以下、第jおよび第kのサブパルスにおいて、それぞれ、 $X_{n+1}$ 、 $X_n$ のm番目が $V_H$ となったので、画素 $Z_{n,m}$ 、 $Z_{n+1,m}$ の充電状態がぞれぞれ、第k、第jのサブパルス中に中断される。このような過程を経ることによって、図 2 の V (Z)に示すように、各画素ごとに電圧状態の時間をデジタル的にコントロールできる。

# [0027]

このような動作を繰り返すことにより、各画素に加わる電圧パルスの幅を図1(a)のように任意に制御することができる。

### [0028]

# 【発明の効果】

# [0029]

本発明の保護回路は、図10に示されるように、周辺の駆動回路と画素のあいだに設けられ、図11と図12で示されるような回路をいう。いずれも画素の配線に過大な電圧がかかるとON状態となり、電圧を取り去る作用を有する。これらの保護回路は、シリコンのようなドーピングされた、あるいはドーピングされていない半導体材料や、ITOのような透明導電材料、あるいは通常の配線材料を用いて構成される。したがって、画素の回路を形成するときに同時に形成することが可能である。

本発明では、従来のアナログ方式の階調表示に対し、デジタル方式の階調表示を行うことを特徴としている。その効果として、例えば640×400ドットの画素数を有する液晶電気光学装置を想定したばあい、合計256,000個のTFTすべての特性をばらつき無く作製することは、非常に困難を有し、現実的には量産性、歩留りを考慮すると、16階調表示が限界と考えられているのに対し、本発明のように、全くアナログ的な信号を加えることなく純粋にデジタル制御のみで階調表示することにより、256階調表示以上の階調表示が可能となった。完全なデジタル表示であるので、TFTの特性ばらつきによる階調の曖昧さは全くなくなり、したがって、TFTのばらつきが少々あっても、極めて均質な階調表示が可能であった。したがって、従来はばらつきの少ないTFTを得るため

10

20

30

40

30

40

50

に極めて歩留りが悪かったのに対し、本発明によって、TFTの歩留りがさほど問題とされなくなったため、液晶装置の歩留りは向上し、作製コストも著しく抑えることができた

### [0030]

例えば640×400ドットの256,000組のTFTを300mm角に作成した液晶電気光学装置に対し通常のアナログ的な階調表示を行った場合、TFTの特性ばらつきが約±10%存在するために、16階調表示が限界であった。しかしながら、本発明によるデジタル階調表示をおこなった場合、TFT素子の特性ばらつきの影響を受けにくいために、256階調表示まで可能になりカラー表示ではなんと16,777,216色の多彩であり微妙な色彩の表示が実現できている。テレビ映像の様なソフトを映す場合、例えば同一色からなる『岩』でもその微細な窪み等から微妙に色合いが異なる。自然の色彩に近い表示を行おうとした場合、16階調では困難を要する。本発明による階調表示によって、これらの微細な色調の変化を付けることが可能になった。

### [0031]

本発明の実施例では、シリコンを用いたTFTを中心に説明を加えたが、ゲルマニウムを用いたTFTも同様に使用できる。とくに、単結晶ゲルマニウムの電子移動度は3600cm²/Vs、ホール移動度は1800cm²/Vsと、単結晶シリコンの値(電子移動度で1350cm²/Vs、ホール移動度で480cm²/Vs)の特性を上回っているため、高速動作が要求される本発明を実行する上で極めて優れた材料である。また、ゲルマニウムは非晶質状態から結晶状態へ遷移する温度がシリコンに比べて低く、低温プロセスに向いている。また、結晶成長の際の核発生率が小さく、したがって、一般に、多結晶成長させた場合には大きな結晶が得られる。このようにゲルマニウムはシリコンと比べても遜色のない特性を有している。

### [ 0 0 3 2 ]

本発明の技術思想を説明するために、主として液晶を用いた電気光学装置、特に表示装置を例として説明を加えたが、本発明の思想を適用するには、なにも表示装置である必要はなく、いわゆるプロジェクション型テレビやその他の光スイッチ、光シャッターであってもよい。さらに、電気光学材料も液晶に限らず、電界、電圧等の電気的な影響を受けて光学的な特性の変わるものであれば、本発明を適用できることは明らかであろう。

### 【実施例1】

### [0033]

本実施例では図4に示すような回路構成を用いた液晶表示装置を用いて、壁掛けテレビを作製したので、その説明を行う。またその際のTFTは、レーザーアニールを用いた多結晶シリコンとした。

# [0034]

この回路構成に対応する実際の電極等の配置構成を1つの画素について、図5に示している。まず、本実施例で使用する液晶パネルの作製方法を図6を使用して説明する。図6(A)において、石英ガラス等の高価でない700 以下、例えば約600 の熱処理に耐え得るガラス50上にマグネトロンRF(高周波)スパッタ法を用いてブロッキング層51としての酸化珪素膜を100~300nmの厚さに作製する。プロセス条件は酸素100%雰囲気、成膜温度150 、出力400~800W、圧力0.5Paとした。タケットに石英または単結晶シリコンを用いた成膜速度は3~10nm/分であった。

### [0035]

圧(V th)を概略同一に制御するため、ホウ素をジボランを用いて  $1 \times 10^{15} \sim 1 \times 10^{18}$  cm  $^{-3}$  の濃度として成膜中に添加してもよい。またTFTのチャネル領域となるシリコン層の成膜にはこのプラズマCVDだけでなく、スパッタ法、減圧CVD法を用いても良く、以下にその方法を簡単に述べる。

### [0036]

スパッタ法で行う場合、スパッタ前の背圧を  $1\times 10^{-5}$  P a 以下とし、単結晶シリコンをタ・ゲットとして、アルゴンに水素を 2 0 ~ 8 0 %混入した雰囲気で行った。例えばアルゴン 2 0 %、水素 8 0 % とした。成膜温度は 1 5 0 、周波数は 1 3 . 5 6 M H z 、スパッタ出力は 4 0 0 ~ 8 0 0 W、圧力は 0 . 5 P a であった。

#### [0037]

減圧気相法で形成する場合、結晶化温度よりも  $1\ 0\ 0\ \sim\ 2\ 0\ 0\$  低い  $4\ 5\ 0\ \sim\ 5\ 5\ 0\$ 、例えば  $5\ 3\ 0\$  でジシラン ( $Si_2H_6$ ) またはトリシラン ( $Si_3H_8$ ) を  $C\ V\ D$  装置に供給して成膜した。反応炉内圧力は  $3\ 0\ \sim\ 3\ 0\ 0\ P\ a\ とした。成膜速度は <math>5\ \sim\ 2\ 5\ n\ m\ /\$ 分であった。 P T F T と N T F T とのスレッシュホ・ルド電圧( $V\ th$ )を概略同一に制御するため、ホウ素をジボランを用いて  $1\ \times\ 10^{15}\ \sim\ 1\ \times\ 10^{18}\ cm^{-3}$  の濃度として成膜中に添加してもよい。

# [0038]

これらの方法によって形成された被膜は、酸素が  $5 \times 10^{21} \, \mathrm{cm}^{-3}$  以下であることが好ましい。結晶化を助長させるためには、酸素濃度を  $7 \times 10^{19} \, \mathrm{cm}^{-3}$  以下、好ましくは  $1 \times 10^{19} \, \mathrm{cm}^{-3}$  以下とすることが望ましいが、少なすぎると、バックライトによりオフ状態のリーク電流が増加してしまうため、この濃度を選択した。この酸素濃度が高いと、結晶化させにくく、レーザーアニール温度を高くまたはレーザーアニール時間を長くしなければならない。水素は  $4 \times 10^{20} \, \mathrm{cm}^{-3}$  であり、珪素  $4 \times 10^{22} \, \mathrm{cm}^{-3}$  として比較すると 1 原子%であった。

### [0039]

### [0040]

その後、フォトレジスト53をマスク P 1を用いてソース・ドレイン領域のみ開孔したパターンを形成した。その上に、プラズマ C V D 法により n 型の活性層となる珪素膜 5 4を作製した。成膜温度は 2 5 0 ~ 3 5 0 でおこない、本実施例では 3 2 0 とし、モノシラン (Si H<sub>4</sub>)とモノシランベースのフォスフィン (PH<sub>3</sub>) 3 % 濃度のものを用いた。これらを P C V D 装置内 5 P a の圧力でに導入し、 1 3 . 5 6 M H z の高周波電力を加えて成膜した。この際、高周波電力は 0 . 0 5 ~ 0 . 2 0 W / c m² が適当であり、本実施例では 0 . 1 2 0 W / c m² を用いた。

### [0041]

この方法によって出来上がった n 型シリコン層の比導電率は 2 × 1 0 <sup>-1</sup> [ c m <sup>-1</sup>] 程度となった。膜厚は 5 n m とした。こうして、図 6 (A)を得た。その後リフトオフ法を用いて、レジスト 5 3 を除去し、ソース・ドレイン領域 5 5 、 5 6 を形成した。

### [0042]

同様のプロセスを用いて、 p 型の活性層を形成した。その際の導入ガスは、モノシラン  $(SiH_4)$ とモノシランベースのジボラン  $(B_2H_6)$  5 % 濃度のものを用いた。これらを P C V D 装置内に 4 P a の圧力でに導入し、 1 3 . 5 6 M H z の高周波電力を加えて成膜した。この際、高周波電力は 0 . 0 5 ~ 0 . 2 0 W / c  $m^2$  が適当であり、本実施例では 0 . 1 2 0 W / c  $m^2$  を用いた。この方法によって出来上がった p 型シリコン層の比導電率は 5 × 1 0  $^{-2}$  [ c  $m^{-1}$ ] 程度となった。 膜厚は 5 n m とした。こうして、図 6 (B) を得た。その後 N 型領域と同様にリフトオフ法を用いて、ソース・ドレイン領域 5 9 、 6 0 を形成した。その後、マスク P 3 を用いて珪素膜 5 2 をエッチング除去し、 N チャネル型薄膜ト

10

20

30

40

ランジスタ用アイランド領域 6 3 と P チャネル型薄膜トランジスタ用アイランド領域 6 4 を形成した。

### [0043]

その後、図6(C)に示すように、XeC1 エキシマレーザーを用いて、ソース・ドレイン・チャネル領域をレーザーアニールすると同時に、活性層にレーザードーピングを行なった。この時のレーザーエネルギーは、閾値エネルギーが130mJ/cm²で、膜厚全体が溶融するには220mJ/cm²が必要となる。しかし、最初から220mJ/cm²以上のエネルギーを照射すると、膜中に含まれる水素が急激に放出されるために、膜の破壊が起きる。そのために低エネルギーで最初に水素を追い出した後に溶融させる必要がある。本実施例では最初150mJ/cm²で水素の追い出しを行なった後、230mJ/cm²で結晶化をおこなった。

#### [0044]

この上に酸化珪素膜をゲイト絶縁膜として 5 0 ~ 2 0 0 n m 例えば 1 0 0 n m の厚さに 形成した。これはブロッキング層としての酸化珪素膜の作製と同一条件とした。この成膜 中に弗素を少量添加し、ナトリウムイオンの固定化をさせてもよい。

#### [0045]

この後、この上側にリンが  $1\sim5\times10^{21}\,cm^{-3}$  の濃度に入ったシリコン膜またはこのシリコン膜とその上にモリブデン (Mo)、タングステン (W), MoSi $_2$  またはWSi $_2$ との多層膜を形成した。これを第 4 のフォトマスク P 4 にてパタ・ニングして図 6 (D) を得た。 N T F T 用のゲイト電極 6 6 、P T F T 用のゲイト電極 6 7 を形成した。例えばチャネル長 7  $\mu$  m、ゲイト電極としてリンド・プ珪素を 0 . 2  $\mu$  m、その上にモリブデンを 0 . 3  $\mu$  mの厚さに形成した。同時に、図 7 (D  $^{\prime}$ ) に示すように、ゲイト配線 6 5 とそれに並行して配置された配線 6 8 もパターニングした。

#### [0046]

また、ゲート電極材料としては、上記材料以外に、例えばアムミニウム(A1)も使用することができる。アルミニウムを用いた場合、これを第4のフォトマスクP4にてパタ・ニング後、その表面を陽極酸化することで、セルファライン工法が適用可能なため、ソース・ドレインのコンタクトホールをよりゲートに近い位置に形成することが出来るため、移動度、スレッシュホールド電圧の低減からさらにTFTの特性を上げることができる

# [ 0 0 4 7 ]

かくすると、400 以上にすべての工程で温度を加えることがなくC/TFTを作ることができる。そのため、基板材料として、石英等の高価な基板を用いなくてもよく、本発明の大画面の液晶表示装置にきわめて適したプロセスであるといえる。

### [0048]

30

20

10

40

挿入された回路を構成することとなる。特に本実施例のように配置することによって、配線 6 8 はゲイト配線 6 5 と並行であるので、 2 配線間の寄生容量が少なく、したがって、ゲイト配線を伝播する信号の減衰や遅延を減らす効果がある。

### [0049]

また、このようにして形成された配線68は、接地して使用される場合には、各マトリクスの終端に設けられる保護回路の接地線として使用できる。保護回路は、図10に示されるように、周辺の駆動回路と画素のあいだに設けられ、図11と図12で示されるような回路をいう。いずれも画素の配線に過大な電圧がかかるとON状態となり、電圧を取り去る作用を有する。これらの保護回路は、シリコンのようなドーピングされた、あるいはドーピングされていない半導体材料や、ITOのような透明導電材料、あるいは通常の配線材料を用いて構成される。したがって、画素の回路を形成するときに同時に形成することが可能である。

#### [0050]

このことは、例えば、図11の各保護回路が、NTFTやPTFT、あるいはそれらをあわせたC/TFTで構成されていることから明らかであろう。また、図12の保護回路はTFTは使用されないが、ダイオードは、例えばPIN接合によって構成され、また、特にツェナー特性を重視するダイオードはNIN、PIP、あるいはNPN、PNPといった構造を有し、いちいち説明するまでもなく、本実施例で示した作製方法を援用することによって作製されうることは自明である。

#### [0051]

さて、以上のようにして得られたTFTの電気的な特性はPTFTで移動度は40 (cm $^2$ /Vs)、V thは-5.9 (V)で、N TFTで移動度は80 ( $cm^2$ /Vs)、V thは5.0 (V) であった。

### [0052]

上記の様な方法に従って作製された液晶電気光学装置用の一方の基板を得ることが出来た。この液晶表示装置の電極等の配置の様子を図 5 に示している。本発明によるインバータを構成する T F T が信号線 Y  $_1$  と  $\overline{Y}_1$  の間、および Y  $_2$  と  $\overline{Y}_2$  の間に、信号線 X  $_1$  、 X  $_2$  に平行に設けられている。このようなマトリクス構成をを左右、上下に繰り返すことにより、 6 4 0 × 4 8 0 、 1 2 8 0 × 9 6 0 といった大画素の液晶表示装置とすることができる。本実施例では 1 9 2 0 × 4 0 0 とした。この様にして第 1 の基板を得た。

### [0053]

他方の基板の作製方法を図 8 に示す。ガラス基板上にポリイミドに黒色顔料を混合したポリイミド樹脂をスピンコート法を用いて 1 μ m の厚みに成膜し、第 9 のフォトマスク P 9 を用いてブラックストライプ 8 1 を作製した。その後、赤色顔料を混合したポリイミド樹脂をスピンコート法を用いて 1 μ m の厚みに成膜し、第 1 0 のフォトマスク P 1 0 を用いて赤色フィルター 8 3 を作製した。同様にしてマスク P 1 1、 P 1 2 を使用し、緑色フィルター 8 5 および青色フィルター 8 6 を作製した。これらの作製中各フィルターは 3 5 0 にて窒素中で 6 0 分の焼成を行なった。その後、やはリスピンコート法を用いて、レベリング層 8 9 を透明ポリイミドを用いて作製した。

### [0054]

その後、これら全体にITO(インジューム酸化錫)を 0 . 1 µ m の厚みにスパッタ法により形成し第 1 0 のフォトマスク P 1 0 を用いて共通電極 9 0 を形成した。このITOは室温~150 で成膜し、200~300 の酸素または大気中のアニ・ルにより成就し、第 2 の基板を得た。

#### [0055]

前記基板上に、オフセット法を用いて、ポリイミド前駆体を印刷し、非酸化性雰囲気たとえば窒素中にて350 1時間焼成を行った。その後、公知のラビング法を用いて、ポリイミド表面を改質し、少なくとも初期において、液晶分子を一定方向に配向させる手段を設けた。

# [0056]

50

20

30

その後、前記第一の基板と第二の基板によって、ネマチック液晶組成物を挟持し、周囲をエポキシ性接着剤にて固定した。基板上のリードにTAB形状の駆動ICと共通信号、電位配線を有するPCBを接続し、外側に偏光板を貼り、透過型の液晶電気光学装置を得た。これと冷陰極管を3本配置した後部照明装置、テレビ電波を受信するチューナーを接続し、壁掛けテレビとして完成させた。従来のCRT方式のテレビと比べて、平面形状の装置となったために、壁等に設置することも出来るようになった。この液晶テレビの動作は図1、図2に示したものと、実質的に同等な信号を液晶画素に印加することにより確認された。

### 【実施例2】

### [0057]

本実施例では図4に示すような回路構成を用いた液晶表示装置を用いて、壁掛けテレビを作製したので、その説明を行う。またその際のTFTは、レーザーアニールを用いた多結晶シリコンとした。

# [ 0 0 5 8 ]

以下では、TFT部分の作製方法について図9にしたがって記述する。図9(A)において、石英ガラス等の高価でない700 以下、例えば約600 の熱処理に耐え得るガラス100上にマグネトロンRF(高周波)スパッタ法を用いてブロッキング層101としての酸化珪素膜を100~300nmの厚さに作製する。プロセス条件は酸素100%雰囲気、成膜温度15 、出力400~800W、圧力0.5Paとした。タ・ゲットに石英または単結晶シリコンを用いた成膜速度は3~10nm/分であった。

#### [0059]

#### [0060]

スパッタ法で行う場合、スパッタ前の背圧を 1 × 10<sup>-5</sup> P a 以下とし、単結晶シリコンをタ・ゲットとして、アルゴンに水素を 2 0 ~ 8 0 % 混入した雰囲気で行った。例えばアルゴン 2 0 %、水素 8 0 %とした。成膜温度は 1 5 0 、周波数は 1 3 . 5 6 M H z 、スパッタ出力は 4 0 0 ~ 8 0 0 W、圧力は 0 . 5 P a であった。

### [0061]

減圧気相法で形成する場合、結晶化温度よりも  $1\ 0\ 0\ \sim\ 2\ 0\ 0\$  低い  $4\ 5\ 0\ \sim\ 5\ 5\ 0\$ 、例えば  $5\ 3\ 0\$  でジシラン ( $Si_2H_6$ ) またはトリシラン ( $Si_3H_8$ ) を  $C\ V\ D$  装置に供給して成膜した。反応炉内圧力は  $3\ 0\ \sim\ 3\ 0\ 0\ P\ a\ とした。成膜速度は <math>5\ \sim\ 2\ 5\ n\ m\ /\$ 分であった。 P T F T と N T F T とのスレッシュホ・ルド電圧( $V\ th$ )を 概略 同一に制御するため、ホウ素をジボランを用いて  $1\ \times\ 10^{15}\ \sim\ 1\ \times\ 10^{18}\ cm^{-3}$  の濃度として成膜中に添加してもよい。

### [0062]

これらの方法によって形成された被膜は、酸素が  $5 \times 10^{21}$  cm $^{-3}$  以下であることが好ましい。結晶化を助長させるためには、酸素濃度を  $7 \times 10^{19}$  cm $^{-3}$  以下、好ましくは  $1 \times 10^{19}$  cm $^{-3}$  以下とすることが望ましいが、少なすぎると、バックライトによりオフ状態のリーク電流が増加してしまうため、この濃度を選択した。この酸素濃度が高いと、結晶化させにくく、レーザーアニール温度を高くまたはレーザーアニール時間を長くしなければならない

20

10

30

30

40

50

。水素は4×10<sup>20</sup>cm<sup>-3</sup>であり、珪素4×10<sup>22</sup>cm<sup>-3</sup>として比較すると1原子%であった。

# [0063]

また、ソ・ス、ドレインに対してより結晶化を助長させるため、酸素濃度を $7\times10^{19}\,\mathrm{cm}^{-3}$ 以下、好ましくは  $1\times10^{19}\,\mathrm{cm}^{-3}$ 以下とし、ピクセル構成するTFTのチャネル形成領域のみに酸素をイオン注入法により  $5\times10^{20}\sim5\times10^{21}\,\mathrm{cm}^{-3}$ となるように添加してもよい。上記方法によって、アモルファス状態の珪素膜を  $5\cdot0\sim5\cdot0$  の n m の厚さに成膜した。

# [0064]

その後、フォトレジスト 1 0 3 をマスク P 1 を用いて N T F T のソース・ドレイン領域となるべき領域のみ開孔したパターンを形成した。そして、レジスト 1 0 3 をマスクとして、リンイオンをイオン注入法により、 2 × 1 0 14 ~ 5 × 1 0 16 c m 2 、好ましくは 2 × 1 0 16 c m 2 だけ、注入し、 1 型不純物領域 1 0 4 を形成した。その後、レジスト 1 0 3 は除去された。

# [0065]

同様に、レジスト105を塗布し、マスクP2を用いて、PTFTのソース・ドレイン領域となるべき領域のみ開孔したパターンを形成した。そして、レジスト105をマスクとして、p型の不純物領域106を形成した。不純物としては、ホウソを用い、やはりイオン注入法を用いて、2×10 $^{14}$ ~5×10 $^{16}$ cm $^{-2}$ 、好ましくは2×10 $^{16}$ cm $^{-2}$ だけ、不純物を導入した。このようにして。図9(B)を得た。

### [0066]

その後、珪素膜102上に、厚さ50~300nm、例えば、100nmの酸化珪素被膜107を、上記のRFスパッタ法によって形成した。そして、XeC1エキシマレーザーを用いて、ソース・ドレイン・チャネル領域をレーザーアニールによって、結晶化・活性化した。この時のレーザーエネルギーは、閾値エネルギーが130mJ/cm²で、膜厚全体が溶融するには220mJ/cm²が必要となる。しかし、最初から220mJ/cm²以上のエネルギーを照射すると、膜中に含まれる水素が急激に放出されるために、膜の破壊が起きる。そのために低エネルギーで最初に水素を追い出した後に溶融させる必要がある。本実施例では最初150mJ/cm²で水素の追い出しを行なった後、230mJ/cm²で結晶化をおこなった。さらに、レーザーアニール終了後は酸化珪素膜107は取り去った。

### [0067]

その後、フォトマスク P 3 によって、アイランド状の N T F T 領域 1 1 1 と P T F T 領域 1 1 2 を形成した。この上に酸化珪素膜 1 0 8 をゲイト絶縁膜として 5 0 ~ 2 0 0 n m 例えば 1 0 0 n m の厚さに形成した。これはブロッキング層としての酸化珪素膜の作製と同一条件とした。この成膜中に弗素を少量添加し、ナトリウムイオンの固定化をさせてもよい。

# [0068]

この後、この上側にリンが  $1\sim5\times10^{21}\,\mathrm{cm}^{-3}$  の濃度に入ったシリコン膜またはこのシリコン膜とその上にモリブデン (Mo)、タングステン (W), MoS  $i_2$  またはWS  $i_2$ との多層膜を形成した。これを第 4 のフォトマスク P 4 にてパタ・ニングして図 9 (D) を得た。 N T F T 用のゲイト電極 1 0 9、 P T F T 用のゲイト電極 1 1 0 を形成した。例えばチャネル長 7  $\mu$  m、ゲイト電極としてリンド・プ珪素を 0 . 2  $\mu$  m、その上にモリブデンを 0 . 3  $\mu$  mの厚さに形成した。図には示されていないが、実施例 1 の場合と同様にゲイト配線とそれに平行な配線も形成した。

#### [0069]

この配線の材料としては、上記の材料以外にも、例えばアルミニウム(A1)を用いることも可能である。アルミニウムを用いた場合、これを第4のフォトマスクP4にてパタ・ニング後、その表面を陽極酸化することで、セルファライン工法が適用可能なため、ソース・ドレインのコンタクトホールをよりゲートに近い位置に形成することが出来るため、移動度、スレッシュホールド電圧の低減からさらにTFTの特性を上げることができる

[0070]

かくすると、400 以上にすべての工程で温度を加えることがなくC/TFTを作ることができる。そのため、基板材料として、石英等の高価な基板を用いなくてもよく、本発明の大画面の液晶表示装置にきわめて適したプロセスであるといえる。

[0071]

図9(E)において、層間絶縁物113を前記したスパッタ法により酸化珪素膜の形成として行った。この酸化珪素膜の形成はLPCVD法、光CVD法、常圧CVD法を用いてもよい。例えば0.2~0.6μmの厚さに形成し、その後、第5のフォトマスクP5を用いて電極用の窓117を形成した。その後、さらに、これら全体にアルミニウムを0.3μmの厚みにスパッタ法により形成し第6のフォトマスクP6を用いてリ・ド116およびコンタクト114、115を作製した後、表面を平坦化用有機樹脂119、例えば透光性ポリイミド樹脂を塗布形成し、再度の電極穴あけを第7のフォトマスクP7にて行った。さらに、これら全体にITO(インジウム酸化錫)を0.1μmの厚みにスパッタ法により形成し第8のフォトマスクP8を用いて画素電極118を形成した。このITOは室温~150 で成膜し、200~400 の酸素または大気中のアニ・ルにより成就した。

[0072]

得られたTFTの電気的な特性はPTFTで移動度は35 (cm²/Vs)、 V thは - 5 . 9 (V)で、NTFTで移動度は90 (cm²/Vs)、 V thは4 . 8 (V)であった。

[0073]

上記の様な方法に従って作製された液晶電気光学装置用の一方の基板を得ることが出来た。他方の基板の作製方法は実施例1と同じであるので省略する。その後、前記第一の基板と第二の基板によって、ネマチック液晶組成物を挟持し、周囲をエポキシ性接着剤にて固定した。基板上のリードにTAB形状の駆動ICと共通信号、電位配線を有するPCBを接続し、外側に偏光板を貼り、透過型の液晶電気光学装置を得た。これと冷陰極管を3本配置した後部照明装置、テレビ電波を受信するチューナーを接続し、壁掛けテレビとして完成させた。従来のCRT方式のテレビと比べて、平面形状の装置となったために、壁等に設置することも出来るようになった。この液晶テレビの動作は図1、図2に示したものと、実質的に同等な信号を液晶画素に印加することにより確認された。

【図面の簡単な説明】

[0074]

【図1】本発明による駆動波形の例を示す。

【図2】本発明による駆動波形の例を示す。

【図3】本発明による液晶の階調表示特性の例を示す。

【図4】本発明によるマトリクス構成の例を示す。

【図5】実施例による素子の平面構造を示す。

【図6】実施例によるTFTのプロセスを示す。

【図7】実施例によるTFTのプロセスを示す。

【図8】実施例によるカラーフィルターの工程を示す。

【図9】実施例によるTFTのプロセスを示す。

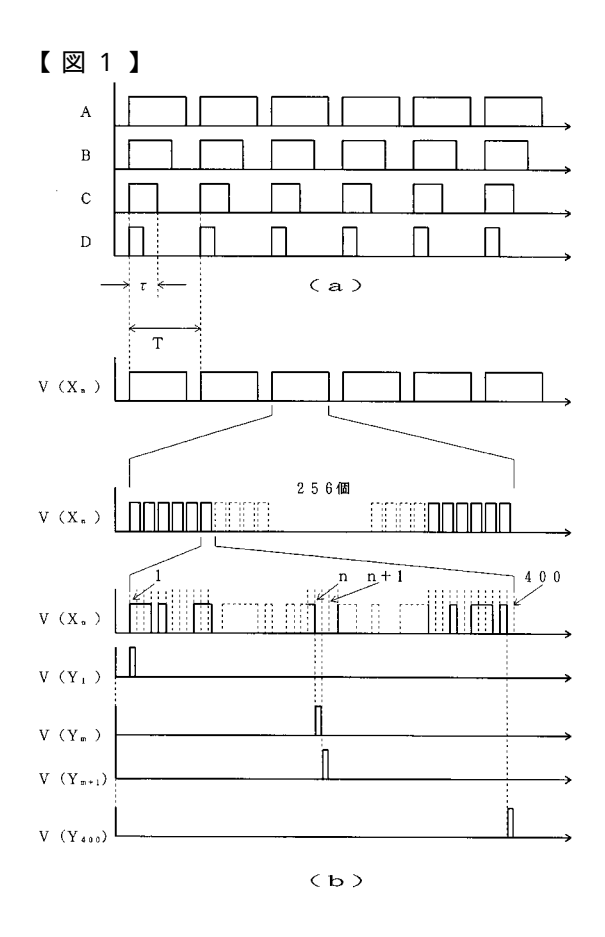
【図10】実施例における保護回路の接続例を示す。

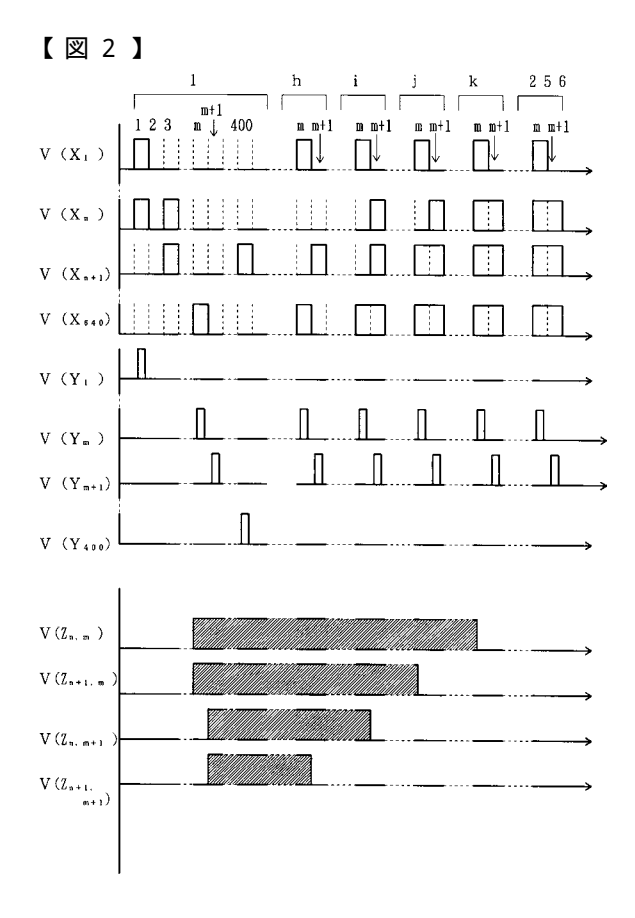
【図11】実施例における保護回路の例を示す。

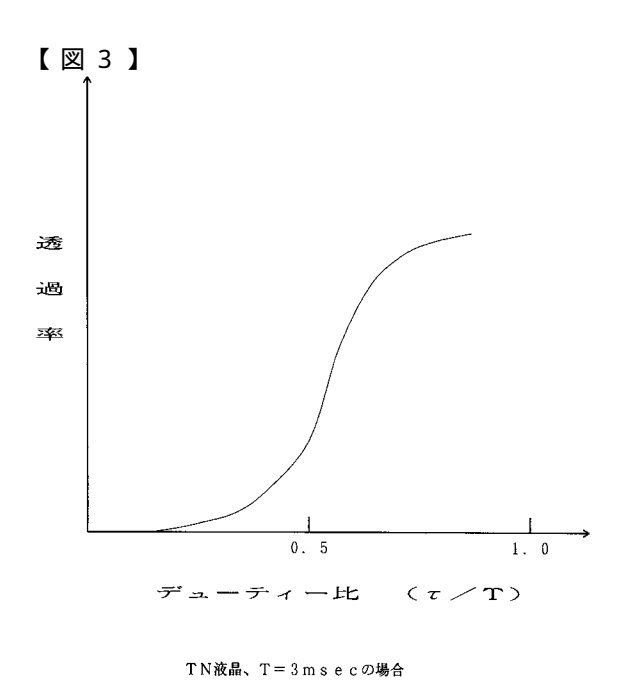
【図12】実施例における保護回路の例を示す。

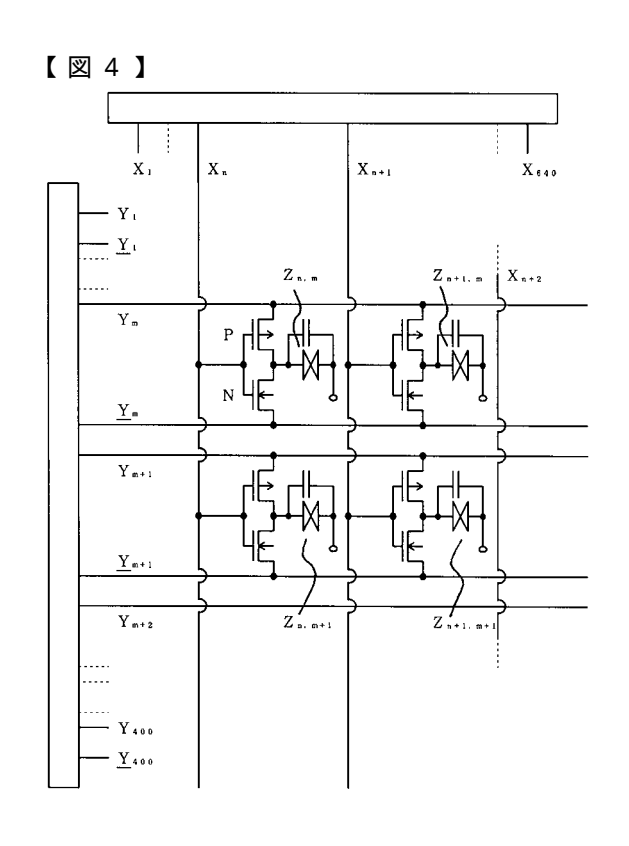
20

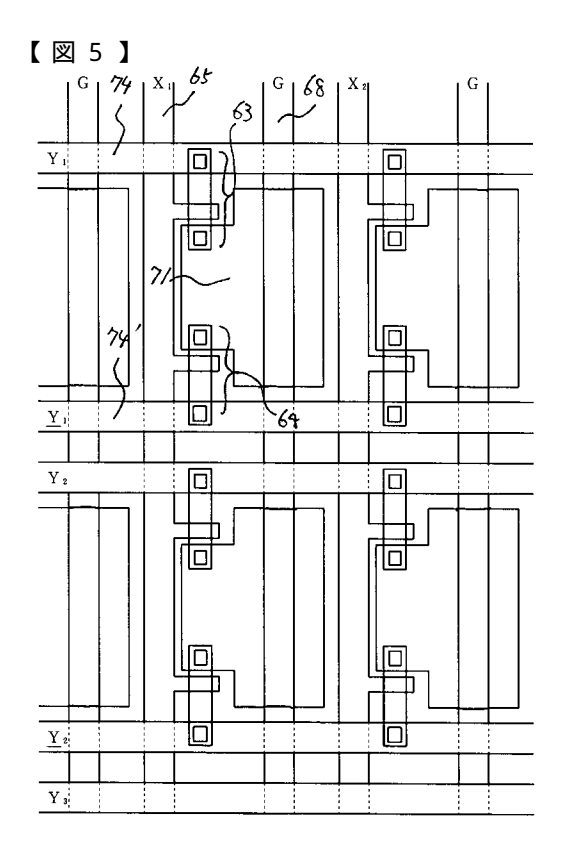
30

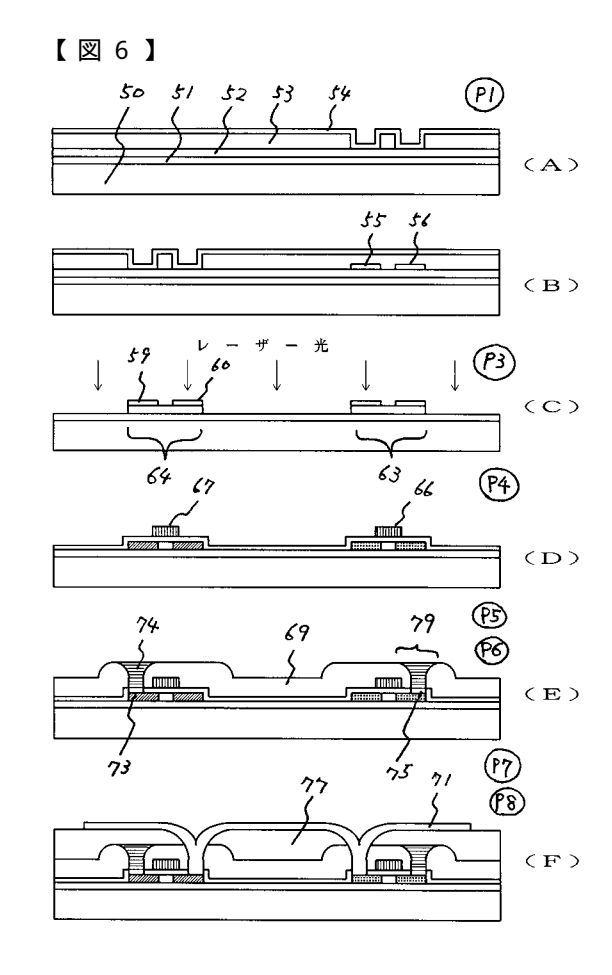


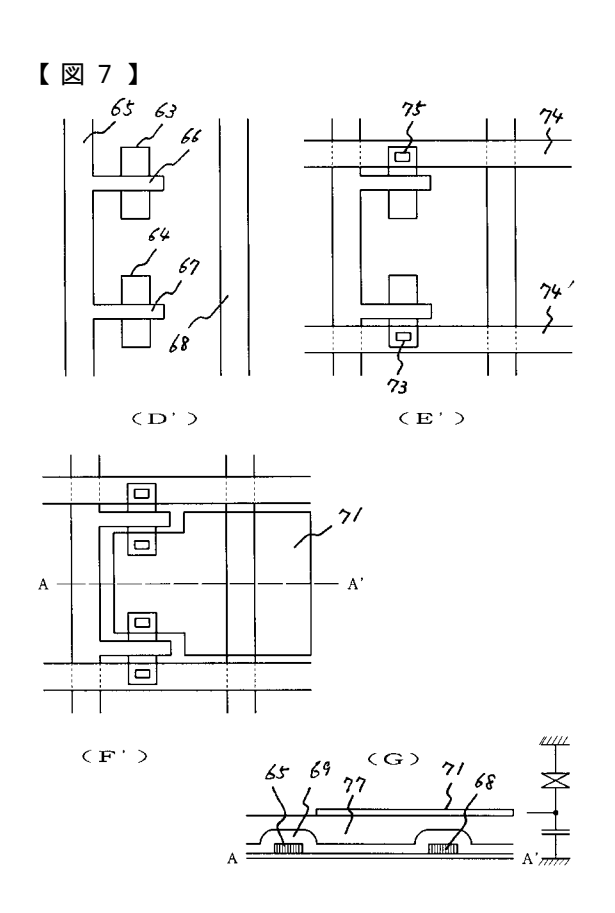


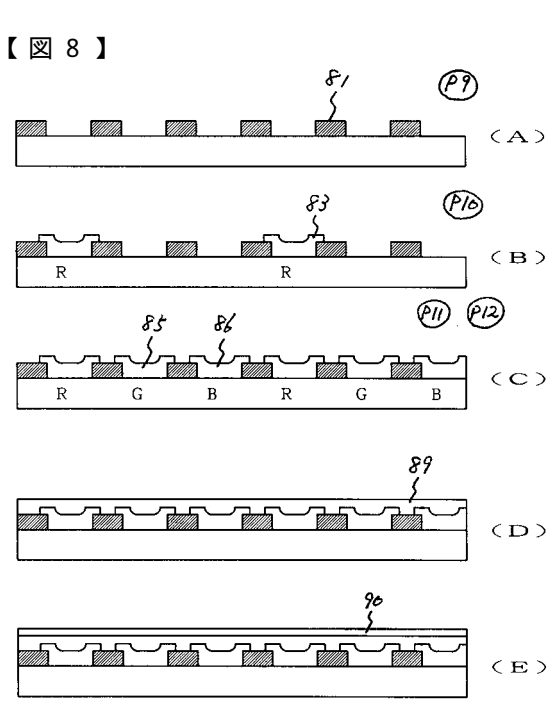


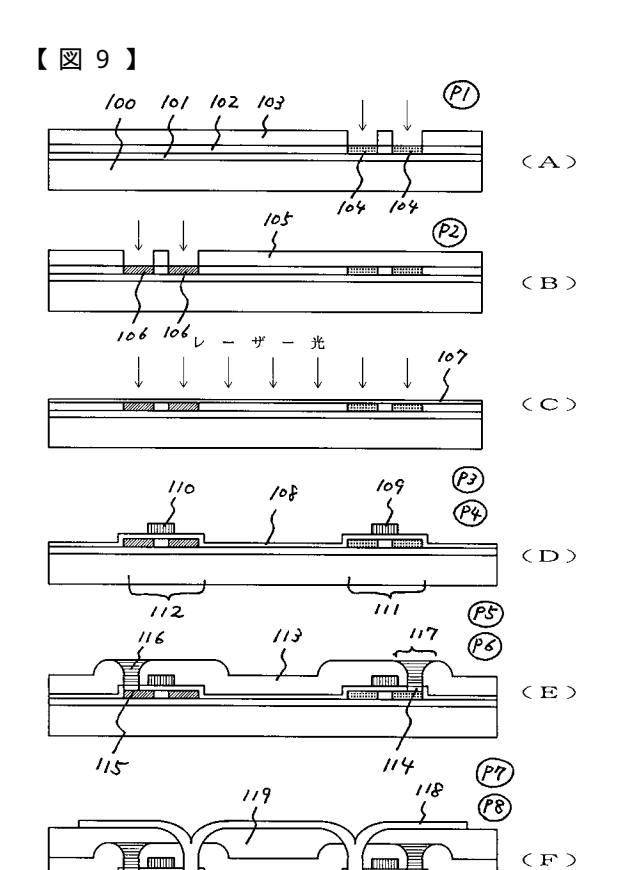


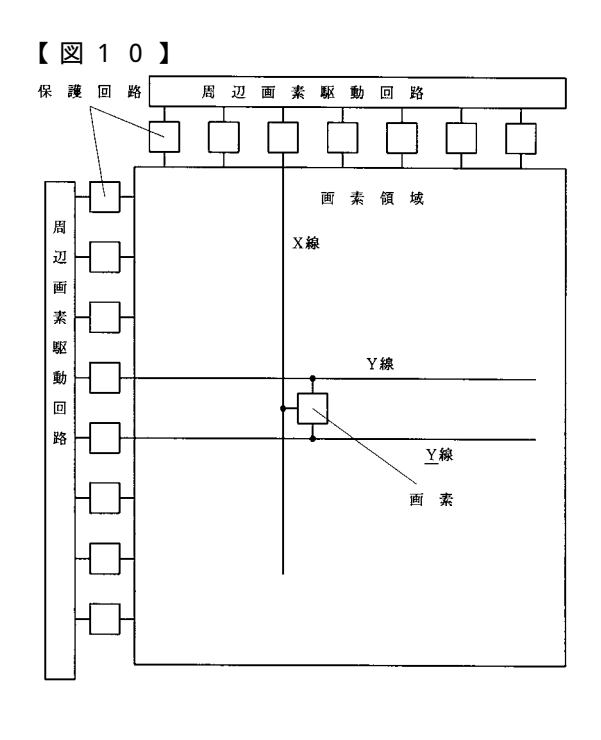


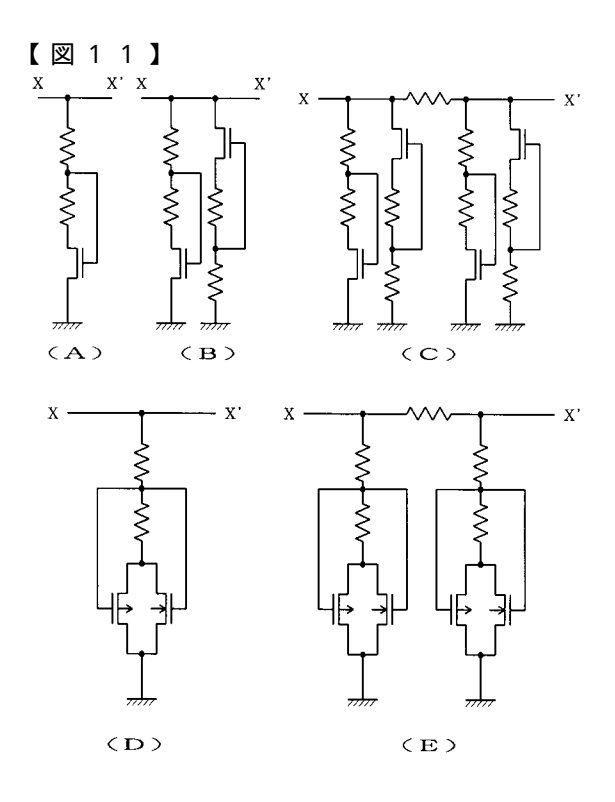


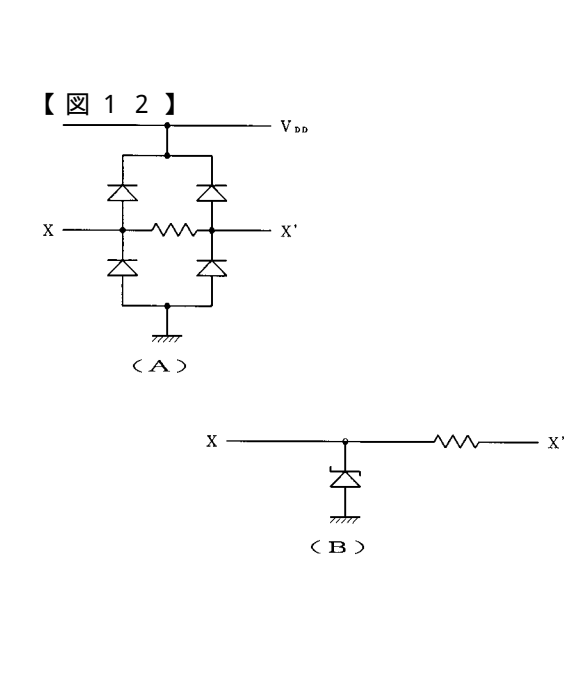












# フロントページの続き

(51) Int.CI.			FΙ							テーマコー	·ド (参	考)
			(	302F	= 1/	133	5 5 0					
			(	302F	= 1/	133	5 7 5					
			ŀ	H 0 1 I	L 29/	78	6 2 3	Α				
			ŀ	H 0 1 I	L 29/	78	6 1 2	C				
F ターム(参考) 2H092 H	A04 JA25	JB44	JB58	JB79	KA04	KA12	KA18	MA30	NA14			
Р	406											
2H093 N	A16 NA53	NA56	NC34	NC40	ND06	ND60						
5C006 A	A15 AC11	AC21	BB16	BC06	BC20	BF34	BF50	FA21				
5C080 A	A10 BB05	DD01	DD19	EE29	FF11	JJ02	JJ03	JJ04	JJ05			
J	J06 KK43											
5F110 A	A22 BB02	BB04	CC02	DD02	DD13	EE03	EE04	EE05	EE09			
E	E14 EE34	FF02	FF07	GG02	GG03	GG06	GG13	GG25	GG28			
G	332 GG34	GG43	GG45	GG47	HJ01	HJ04	HJ16	HJ23	HL03			
Н	_07 HL23	NN03	NN04	NN23	NN27	NN34	NN35	NN36	NN72			
Р	P03 PP27	PP35	QQ14	QQ19								



专利名称(译)	电光器件,液晶显示器件和电视				
公开(公告)号	<u>JP2006350369A</u>	公开(公告)日	2006-12-28		
申请号	JP2006194994	申请日	2006-07-17		
[标]申请(专利权)人(译)	株式会社半导体能源研究所				
申请(专利权)人(译)	半导体能源研究所有限公司				
[标]发明人	山崎舜平 間瀬晃 ひろ木正明 竹村保彦				
发明人	山崎 舜平 間瀬 晃 ▲ひろ▼木 正明 竹村 保彦				
IPC分类号	G09G3/36 G09G3/20 G02F1/136	8 G02F1/133 H01L29/786			
FI分类号	G09G3/36 G09G3/20.622.G G09G3/20.623.R G09G3/20.624.B G02F1/1368 G02F1/133.550 G02F1/133.575 H01L29/78.623.A H01L29/78.612.C				
F-TERM分类号	/KA18 2H092/MA30 2H092/NA14 2H093/NC40 2H093/ND06 2H093/ /BC06 5C006/BC20 5C006/BF34 5C080/DD19 5C080/EE29 5C080/ /EE03 5F110/EE04 5F110/EE05 5 5F110/GG02 5F110/GG03 5F110/ /GG34 5F110/GG43 5F110/GG45/ 5F110/HL03 5F110/HL07 5F110// /NN34 5F110/NN35 5F110/NN36 5F110/QQ19 2H192/AA24 2H192	2H092/PA06 2H093/NA16 2H0 3/ND60 5C006/AA15 5C006/AC 5C006/BF50 5C006/FA21 5C0 0/FF11 5C080/JJ02 5C080/JJ03 /BB02 5F110/BB04 5F110/CC02 5F110/EE09 5F110/EE14 5F110 0/GG06 5F110/GG13 5F110/GG 5 5F110/GG47 5F110/HJ01 5F1 HL23 5F110/NN03 5F110/NN04 5F110/NN72 5F110/PP03 5F11 2/CB02 2H192/CB12 2H192/CB	2H092/KA04 2H092/KA12 2H092 93/NA53 2H093/NA56 2H093/NC34 11 5C006/AC21 5C006/BB16 5C006 80/AA10 5C080/BB05 5C080/DD01 5C080/JJ04 5C080/JJ05 5C080/JJ06 2 5F110/DD02 5F110/DD13 5F110 0/EE34 5F110/FF02 5F110/FF07 25 5F110/GG28 5F110/GG32 5F110 10/HJ04 5F110/HJ16 5F110/HJ23 8 5F110/NN23 5F110/NN27 5F110 10/PP27 5F110/PP35 5F110/QQ14 81 2H192/CC01 2H192/DA12 2H192 02/GA31 2H192/JB02 2H193/ZA04		
外部链接	Espacenet				

# 摘要(译)

要解决的问题:提出一种具有保护电路的电光装置,该保护电路在对像素布线施加过大电压时接通,并具有去除电压的操作。 ŽSOLUTION:电光装置具有带第二至第五薄膜晶体管的保护电路。第二薄膜晶体管的源极和漏极之一电连接到薄膜晶体管的栅极和信号线,第三薄膜晶体管的源极和漏极之一电连接到信号线,源极和漏极中的另一个电连接到薄膜晶体管的栅极和信号线,一个第五薄膜晶体管的源极和漏极电连接到信号线,另一个电连接到薄膜晶体管的栅极。 Ž

